

# 분산염료의 단결정 제조 및 X-선 결정구조

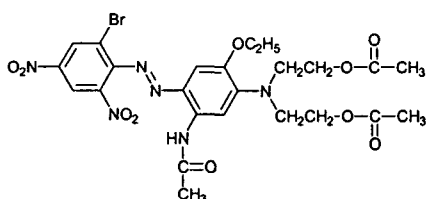
최그린, 윤일<sup>\*</sup>, 박기민<sup>\*</sup>, 이심성<sup>\*</sup>, 이정숙

경상대학교 자연과학대학 의류학과

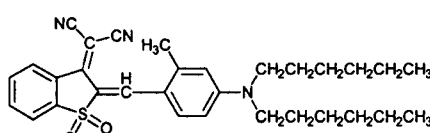
\*경상대학교 화학과 및 기초과학연구소

## 1. 서 론

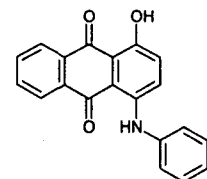
기능성 화합물의 3차원 구조는 그 물질의 물리화학적 특성을 이해하는 데 도움이 될 뿐만 아니라 기능성을 개선하거나 관련 신소재를 개발하는 데 중요한 정보를 제공한다. 특히 소수성 섬유의 염색에 주요한 기능성을 갖는 분산염료는 공정과정에서 고체상태로 이용된다<sup>1-2</sup>. 따라서 분산염료의 특성을 이해하는 방법으로 최근 결정구조에 관한 보고가 잇따르고 있다<sup>3-18</sup>. 그러나 분산염료의 공업적 중요성에 비하면 아직 제한된 화합물에 대한 결정구조만 보고되어 있어<sup>3-18</sup>, 이에 대한 지속적인 연구가 필요한 실정이다. 본 연구에서는 널리 쓰이는 분산염료로 모노아조계인 C.I. Disperse Blue 79 (1), 헤테로고리계인 C.I. Disperse Blue 354 (2) 그리고 안트라퀴논계인 C.I. Disperse Violet 27 (3)의 단결정을 단일 유기용매 계에서 제조하여, 그 결정구조를 X-선 회절법에 의해 규명하였다.



C.I. Disperse Blue 79 (1)



C.I. Disperse Blue 354 (2)



C.I. Disperse Violet 27 (3)

## 2. 실험

### 2.1. 단결정 제조

본 실험에서는 스위스 Clariant사 제품의 분산염료를 정제하지 않고 그대로 사용하였다. 각 분산염료의 단결정을 얻기 위해 먼저 약 50 mg의 염료를 10 mL의 기본 유기용매 (메

탄올, 에탄올, 아세토니트릴, 에틸 아세테이트, n-헥산)에 각각 녹인 후 용액을 거름종이로 걸러 불용성 물질을 제거하였다. 거른 용액을 바이알에 넣은 후 파라핀 필름으로 입구를 막고 3~4개의 바늘 구멍을 내어 실온에서 용매를 증발시켰다. X-선 실험에 적당한 단결정은 염료 1 및 2의 경우 에틸 아세테이트에서 그리고 염료 3의 경우 디클로로메탄에서 각각 얻었다.

## 2.2. X-선 회절 실험

단결정 X-선 회절기는 CCD 검출기가 장착된 Bruker SMART 시스템을 사용하였다. 모든 데이터는 실온에서 측정하였으며 결정구조는 직접법에 의해 풀었다. 결정 및 실험 데이터는 Table 1과 같다.

Table 1. Crystal data and structure refinement for 1, 2 and 3

	1	2	3
Formula	C <sub>24</sub> H <sub>27</sub> BrN <sub>6</sub> O <sub>10</sub>	C <sub>31</sub> H <sub>37</sub> N <sub>3</sub> O <sub>2</sub> S	C <sub>18</sub> H <sub>13</sub> NO <sub>3</sub>
Crystal system	Triclinic	Triclinic	Monoclinic
Space group	P1	P-1	P2 <sub>1</sub> /c
Z	2	2	4
Independent reflections	7396 [ $R_{\text{int}} = 0.1273$ ]	6736 [ $R_{\text{int}} = 0.0581$ ]	2325 [ $R_{\text{int}} = 0.0836$ ]
GOF on $F^2$	0.969	1.012	0.939
Final $R_1$ , $wR_2$ indices [ $I > 2\sigma(I)$ ]	0.0512, 0.1074	0.0822, 0.2182	0.0645, 0.1469

## 3. 결과 및 고찰

### 3.1. 단결정 제조

염료 1~3의 단결정은 단일 유기용매에서 판상으로 얻어졌다. 결정의 얇은 변의 길이가 이상적인 X-선 회절 시료의 크기(0.1~0.5 mm)에 미치지 못하는 경우가 있었으나 결정구조를 얻는 데는 지장을 주지 않았다. 이것은 분산염료가 평면성의 방향족 컨쥬게이션 골격을 갖고 있어 평면구조가 연속적으로 쌓이는 방식으로 성장하였기 때문이다.

### 3.2. C.I. Disperse Blue 79 (1)의 결정구조

염료 1의 단결정은 판형( $0.04 \times 0.12 \times 0.30$  mm)으로 삼사 결정계와  $P1$  공간군을 가졌으며 그 결정구조는 Fig. 1과 같다. 아조기를 중심으로 두 방향족 치환기가 동일 평면을 차지하고 있다. N(1)의 두 에틸 아세테이트 말단은 입체적 반발을 최소화하기 위해 서로 최대한 벌어져 있다. 비틀림각은 N(1)-C(5)-C(6)-O(3)의 경우  $154.2(1.4)^\circ$ 로 거의 트랜스 형태를 갖으나 N(1)-C(4)-C(3)-O(2)는  $-65.2(1.8)^\circ$ 로 gauche 형태를 보였다. 총 전구조(Fig. 2)에 의하면 분자들 사이의 방향족  $\pi-\pi$  상호작용(3.80 및 2.73 Å)과 Br $\cdots$ ONO<sub>2</sub>(3.36 Å)의 약한 결합력이 관찰되었다.

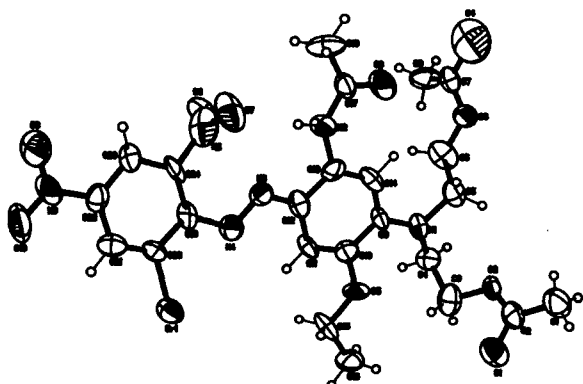


Fig. 1. X-ray structure for C.I. Disperse Blue 79 (1)

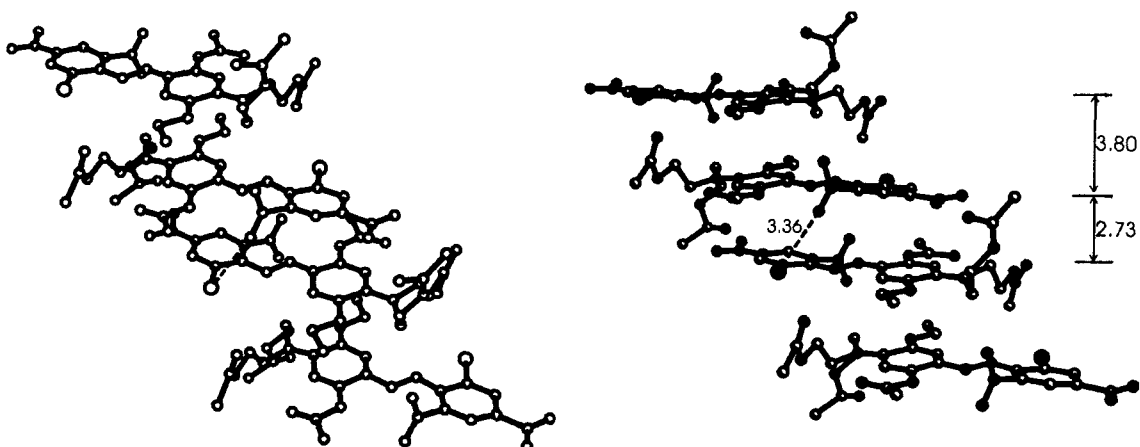


Fig. 2. Crystal packing for C.I. Disperse Blue 79 (1)

### 3.3. C.I. Disperse Blue 354 (2)의 결정구조

염료 2의 단결정은 판형( $0.2 \times 0.3 \times 0.3$  mm)으로 삼사 결정계와  $P-1$  공간군을 가졌으며 그 결정구조는 Fig. 3과 같다. C(9)으로 연결된 두 방향족 치환기는 동일 평면을 차지하고 있다. N(3)의 두 말단 핵실기는 입체적 반발을 최소화하기 위해 서로 최대한 벌어져 있다. 두 핵실기 탄소들은 비교적 큰 열진동을 보이며, 특히 C(26)~C(31)가 C(20)~C(25) 보다 더 큰 열진동을 하고 있다. 그 이유는 Fig. 4의 충전구조로부터 C(20)의 수소원자와 인근 O(1) 사이의 분자간 수소결합 [C(20)…O(1); 3.45 Å] 때문이라고 생각된다. 또한 분자들 사이의 방향족  $\pi-\pi$  상호작용(3.41 Å)도 결정구조 안정화에 기여하고 있는 것으로 나타났다.

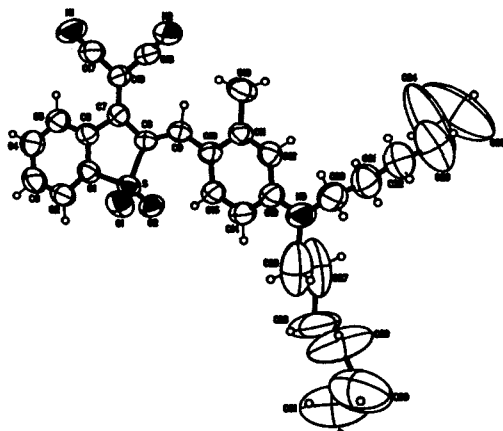


Fig. 3. X-ray structure for C.I. Disperse Blue 354 (2)

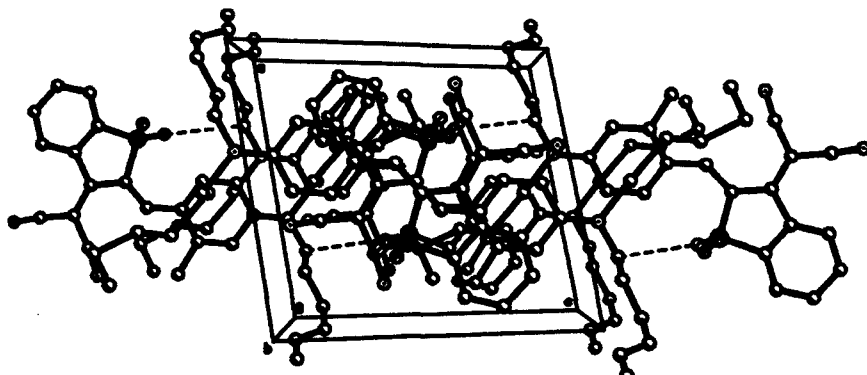


Fig. 4. Crystal packing for C.I. Disperse Blue 354 (2)

### 3.4. C.I. Disperse Violet 27 (3)의 결정구조

염료 3의 단결정은 판형( $0.05 \times 0.20 \times 0.30$  mm)으로 성장하여 단사 결정계와  $P2_1/c$  공간군을 가졌으며 그 결정구조는 Fig. 5와 같다. 질소 원자로 연결된 두 방향족 치환기는 각각 평면성을 가지며 두 방향족 평면사이의 이면각은  $44.9(1)^\circ$ 이다. Fig. 6의 층전구조에 의하면 분자간 방향족  $\pi-\pi$  상호작용에 의해 c축을 따라 기둥모양의 적층구조를 보이고 있다. 또한 각 적층의 기둥들은  $C(9)-H \cdots O(2)$  사이의 분자간 수소결합에 의해 안정화되어 있다.

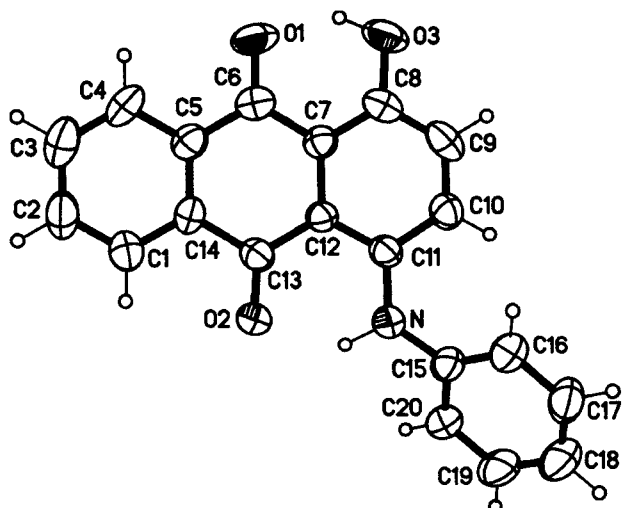


Fig. 5. X-ray structure for C.I. Disperse Violet 27 (3)

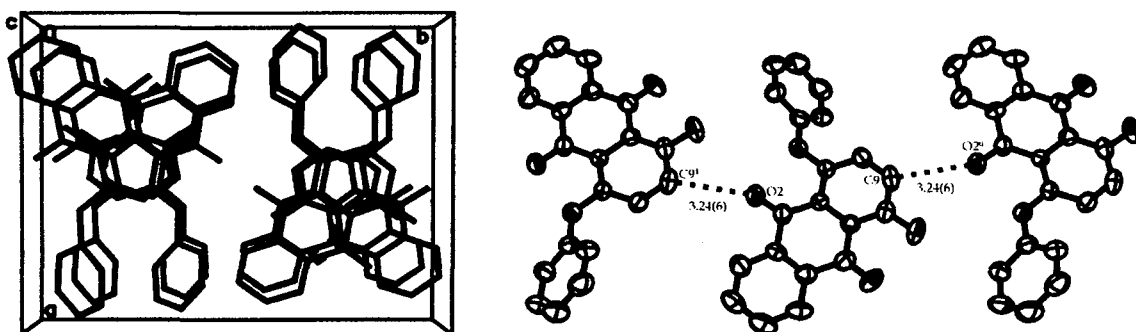


Fig. 6. Crystal packing for C.I. Disperse Violet 27 (3)

감사의 글: 염료를 제공해 주신 한국염색기술연구소의 이기풍 박사님께 감사드립니다.

#### 4. 참고문헌

1. J. F. Dawson, *J.S.D.C.*, **1983**, *99*, 183-191.
2. K. Venkataraman, *The Analytical Chemistry of Synthetic Dyes*, 1977, Wiley, New York.
3. G. McGeorge, R. K. Harris, A. S. Batsanov, A. V. Churakov, A. M. Chippendale, J. F. Bullock and Z. Gan, *J. Phys. Chem. A.* **1998**, *102*, 3505-3513.
4. S.-H. Kim, J.-W. Kim, S.-K. Han, K.-N. Koh, S.-W. Park, and N.-H. Heo, *Dyes and Pigments*, **2000**, *46*, 43-48.
5. J. Příkryl, L. Burgert, A. Halama, J. Královský, and J. Akrman, *Dyes and Pigments*, **1994**, *26*, 107-120.
6. L. Fitjer, R. Gerke, W. Lüttke, P. Müller, and I. Usón, *Tetrahedron*, **1999**, *55*, 14421-14428.
7. J. R. Stork, R. J. Potucek, W. S. Durfee, and B. C. Noll, *Tetrahedron Lett.*, **1999**, *40*, 8055-8058.
8. J. H. Kim, Y. Tani, M. Matsuoka, and K. Fukunishi, *Dyes and Pigments*, **1999**, *43*, 7-14.
9. J. Lye, H. S. Freeman, M. E. Mason, and P. Singh, *Dyes and Pigments*, **1999**, *42*, 107-111.
10. Z. Dai, B. Peng, and X. Chen, *Dyes and Pigments*, **1999**, *40*, 219-223.
11. S. H. Kim, S. K. Han, J. J. Kim, W. T. Lim, N. H. Heo, and K. N. Koh, *Dyes and Pigments*, **1998**, *39*, 259-266.
12. N. Sasa, K. Okada, K. Nakamura, S. Okada, *J. Mol. Struct.*, **1998**, *446*, 163-178.
13. H. S. Freeman, S. A. McIntosh, and P. Singh, *Dyes and Pigments*, **1997**, *35*, 149-164.
14. H. S. Freeman, S. A. McIntosh, and P. Singh, *Dyes and Pigments*, **1997**, *35*, 11-21.
15. S. Özbeý, E. Kendi, and N. Ertan, *Dyes and Pigments*, **1997**, *33*, 251-258.
16. A. Temel, S. Özbeý, and N. Ertan, *Dyes and Pigments*, **1997**, *32*, 237-244.
17. C. A. Mattia, O. Ortona, R. Puliti, G. Cascarano, and C. Giacovazzo, *J. Mol. Struct.* **1995**, *350*, 63-69
18. S. A. McIntosh, and H. S. Freeman, *Textile Res. J.*, **1989**, *59*, 389-394